

# روابط ژئوشیمیایی بین لخته‌های گرانیتی پرآلومینوس و بیگانه سنگ‌های میگماتیتی موجود در کمپلکس باトولیتی تله‌پهلوانی، نیریز، ایران

عبدالناصر فضل‌نیا\*

استادیار دانشکده علوم، دانشگاه ارومیه

تاریخ دریافت: ۸/۹/۸

تاریخ پذیرش: ۹۰/۱۱/۱۰

## چکیده

سقوط قطعات گارنت - بیوتیت - کیانیت شیسته‌های رخنمون یافته در شمال‌غرب کمپلکس دگرگونی ناحیه‌ای قوری نیریز (بخش جنوب زون دگرگونی سنتدج - سیرجان)، به هنگام نفوذ توده ماگمای غیره کوهزابی لوکو کوارتز دیبوریتی - آنورتوزیتی (توده ماگمای اولیه بی‌آب و بسیار پر حرارت) تله‌پهلوانی به این بخش از کمپلکس قوری، در ۱۷۰ میلیون سال پیش، باعث شد تا این قطعات، متوجه دگرگونی همبری شدیدی شوند. در نتیجه این فرایند، این قطعات، درجات ذوب بخشی جزئی را تحمل کرده و ساختارهای میگماتیتی در آنها ایجاد شده است. همچنین جدایش برخی از این مذاب‌ها، منجر به ایجاد میانبارهای کوچک گرانیتی پرآلومینوس شده است.

مشاهدات صحرایی، بررسی‌های میکروسکوپی و داده‌های شیمیایی نشان می‌دهند که ارتباط تنگاتنگی بین این بیگانه سنگ‌ها، ذوب بخشی، ایجاد ساختارهای میگماتیتی و میانبارهای کوچک گرانیتی وجود دارد. کاهش مقدار اکسیدهای  $O_2$ ,  $Na_2O$ ,  $K_2O$  و  $SiO_2$ ،  $TiO_2$ ,  $FeO$ ,  $Al_2O_3$ \* و  $MgO$  و ارتباط نسبت‌های عنصری  $Gdn/Ybn$ ,  $Sr/Y$ ,  $K/Sr$ ,  $Lan/Ybn$ ,  $Lan/Smn$  نشانگر تشکیل میانبارهای گرانیتی از بیگانه سنگ‌های میگماتیتی دیاتکسیتی است. بنابراین، ذوب آب‌زدایشی مسکوویت و بیوتیت، بیگانه سنگ‌های شیستی را میگماتیتی و میانبارهای کوچک گرانیتی را تولید کرده است.

واژه‌های کلیدی: کمپلکس باトولیتی تله‌پهلوانی، بیگانه سنگ‌های میگماتیتی، ذوب بخشی، گرانیت پرآلومینوس

## مقدمه

ارتباط بین دگرگونی درجه بالا، میگماتیت‌زایی و ذوب بخشی، محققان بسیاری را برای به دست آوردن مدلی برای تعیین نحوه خروج مذاب گرانیتی از دیرگدازهای درجه دگرگونی بالا Trigub کرده است (برای مثال، Fyfe, 1973; White and Chap-pel, 1977; Vielzeuf and Holloway, 1988; Patinõ Douce and Harris, 1998; Kriesman, 2001; Corona-Chavez et al., 2006; Lancaster et al., 2009). میگماتیت‌ها که مشخصه مناطق به شدت دگرگون شده هستند، آزمایشگاه‌های طبیعی برای

\* نویسنده مرتبط: a.fazlnia@urmia.ac.ir و qfazlnia@yahoo.com

گرانیتی با حجم‌های مختلف تولید می‌شود.

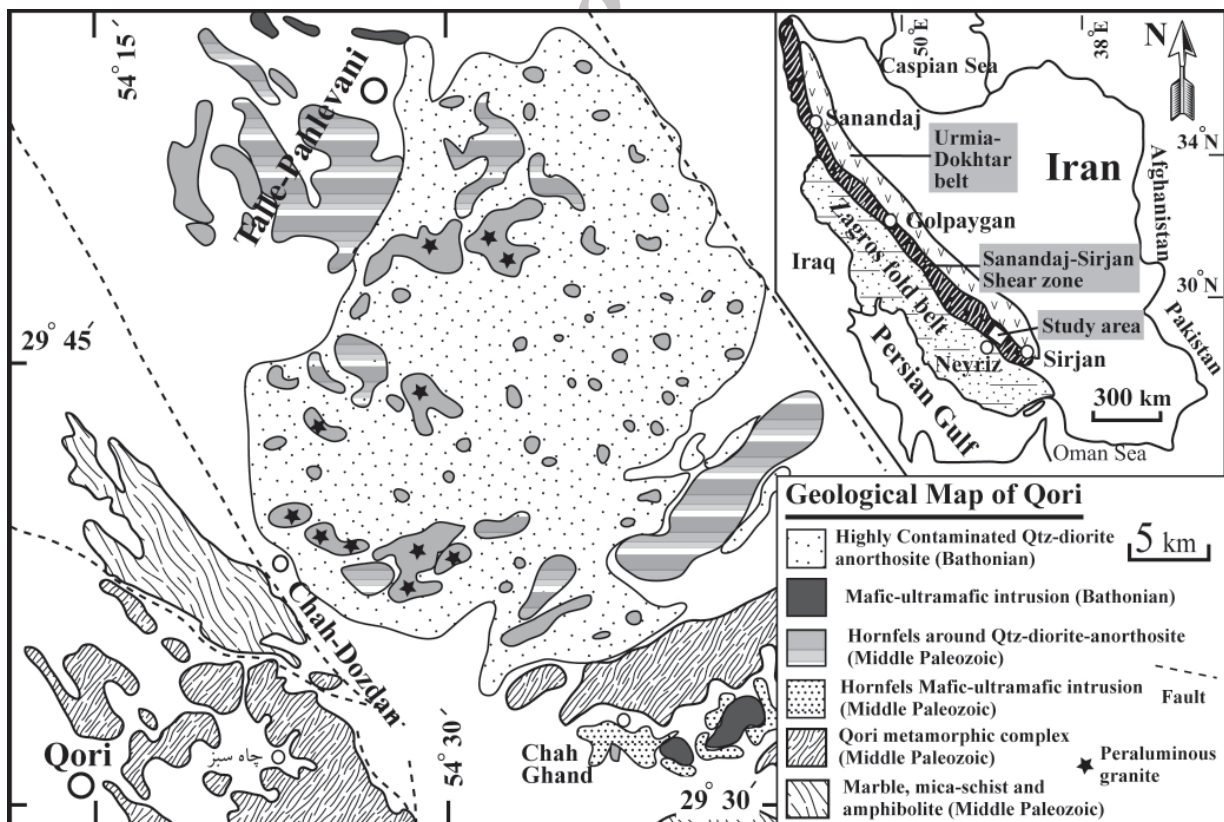
این مطالعه بر اساس شواهد صحرایی و میکروسکوپی و داده‌های شیمیایی به ارتباط فرایندهای ذوب و میگماتیتی شدن بیگانه سنگ‌های نیمه‌پلیتی (شیست) دگرگونی ناحیه‌ای و تشکیل میانبارهای گرانیتی پرآلومینوس می‌پردازد. همچنین در این مطالعه نحوه حرارت‌دهی و واکنش‌های انجام‌شده در این بیگانه سنگ‌ها نیز بررسی می‌شود.

### محیط زمین‌شناختی

زون دگرگونی سنتندج - سیرجان، نوار باریکی بین شهرهای سیرجان در جنوب شرق و ارومیه در شمال غرب ایران است (شکل ۱). این زون از غرب به راندگی زاگرس و از شرق به زون ماگمایی ارومیه - دختر محدود می‌شود. در ناحیه گلپایگان این زون به دو بخش شمالی و جنوبی تقسیم شده است (افتخارتزاد، ۱۳۶۰). بخش شمالی در کرتاسه پایانی، دگرشکل و دگرگون شده و سنگ‌های فلسیک نفوذی در این زمان، در این بخش نفوذ کردند. فرایندهای دگرگونی در بخش شمالی و در نزدیکی همدان با انواع دگرگونی نوع باکان (دگرگونی‌های فشار پایین یا دگرگونی‌های سری آندالوزیت - سیلیمانیت) همخوان است دگرشکل و دگرگون شده در تریاس میانی و بالایی است که بیشتر شامل سنگ‌های رسی، بازی و اوپرتابازی دگرگون شده همراه با

بین گرانیت‌های خارج شده از بخش‌هایی که دچار ذوب‌بخشی شده‌اند و بخش‌های باقی‌مانده (رسستیت‌ها) را برقرار نمایند. میگماتیت‌ها بهترین مثال برای تشکیل گرانیت‌های نوظهور (Carrington and Watt, 1994; Otamen-Corodi and Patin Douce, 2001; McMillan et al., 2003; Coroddi and Patin Douce, 2001; McMillan et al., 2003; na-Chaivez et al., 2006; Fazlnia et al., 2009) نشان می‌دهند که لوکوسوم‌های میگماتیت‌ها، بخش‌هایی شامل مخلوط مذاب و بلور هستند. گرانیت‌هایی که از این سنگ‌ها جدا می‌شوند، می‌توانند همگن شده و در نتیجه، لوکوگرانیت‌ها را ایجاد کند (Chappel and White, 1974; Harris et al., 1995).

بخش‌هایی که دمای محیط آنها نزدیک به دمای سالیدوسنگ‌های پوسته‌ای معمولی است، بهترین گزینه برای توسعه ذوب‌بخشی در نتیجه آشفتگی گرadiان زمین‌گرمایی و تولید لوکوگرانیت‌ها هستند (McMillan et al., 2003; Fazlnia et al., 2009). شکی نیست که منشاء مذاب‌های تشکیل شده در پوسته ژرفایی، با نحوه تشکیل آنها در پوسته میانی و یا ناشی از ذوب بیگانه سنگ‌های فرو افتاده در نفوذی‌های ماگمایی پر دما، متفاوت است. در هر حال، گرانیت‌هایی که در پوسته زیرین و یا در بخش‌های دیگر پوسته، اثر ذوب آبزدایشی بیوتیت یا آمفیبول، در نتیجه تغییرات گرadiان زمین‌گرمایی تولید می‌شوند، به خوبی می‌توانند از منابع خود جدا شده و مهاجرت کنند (McMillan et al., 2003).



شکل ۱- نقشه زمین‌شناسی محدوده شمال شرق نیریز فارس (با تغییرات از سبزه‌ای و همکاران، ۱۳۷۲). در این نقشه سه رخنمون کوارتز - دیوریت آلاش یافته و به شدت آلاش یافته همراه با نفوذی‌های مافیک - اوپرتابازی، کمپلکس تله‌بهلوانی را تشکیل می‌دهند.

سنگ‌های آمفیبولیت این بخش از کمپلکس رخ داد و نفوذی‌های کوچکی با ترکیب ترونوجمیت ایجاد شد (Fazlnia et al., 2009). در ادامه این رخداد و در طول بسته‌شدن نوتیس، زون دگرگونی سنندج - سیرجان دگرشکلی برشی را تحمل کرده (Mohajjel et al., 2003; Golonka, 2004; Davodian et al., 2008; Sarkarnejad and Alizadeh, 2009 - دختر در طول سنوزویک) و مagma تیسم در زون ارومیه (Berberian and King, 1981; Shahabpour, 2005, 2007) این زون را توسعه داد.

### روابط صحرایی و مشاهدات سنگ‌نگاری

بررسی صحرایی رخنمون‌های سنگی مختلف در کمپلکس باتولیتی تله‌پهلوانی نشان می‌دهد که چندین نوع رخنمون سنگی مختلف در محدوده مورد مطالعه وجود دارد. سنگ‌های اصلی موجود در این باتولیت، بخش‌هایی هستند که اکنون مشخصه یک گرانودیوریت - تونالیت بیوتیت‌دار را دارند. این سنگ‌ها در واقع از مagma‌های لوکوکوارتر دیوریتی - آنورتوزیتی که به‌وسیله بیگانه سنگ‌های پلیتی فرو افتاده از کمپلکس دگرگونی قوری آلاش یافته‌اند، به وجود آمدند (فضل‌نیا، ۱۳۹۰). در واقع، از هم پاشیدن برخی از این بیگانه سنگ‌ها منجر به پراکندگی بیوتیت، مسکوویت، گارنت، کوارتز و کردیریت در بسیاری بخش‌های توده magma‌ای فوق شده است. گاه درصد این بلورها تا ۴۰ درصد حجم سنگ می‌رسد. بقیه درصد حجمی این سنگ‌ها را پلازیوکلاز ۴۵-۴۰ درصد آنورتیت تشکیل داده است (فضل‌نیا، ۱۳۹۰). برخی دیگر از این بیگانه سنگ‌ها احتمالاً ذوب‌بخشی و در نتیجه ساختارهای میگماتیتی را توسعه داده‌اند (شکل ۳‌الف و ۳‌ب). این ساختارها بیشتر در بخش‌های مرکزی و جنوب غربی توده نفوذی قابل مشاهده هستند. بیگانه سنگ‌هایی با ساختار میگماتیتی در بخش‌هایی که لوکوگرانیت‌های پرآلومینوس و پگماتیت‌ها حضور دارند، گسترش زیادی یافته‌اند. اندازه این بیگانه سنگ‌ها از چندین سانتی‌متر تا چندین ده متر می‌رسد. در این بیگانه سنگ‌ها و یا در درون بخش‌های آلاش یافته، بخش‌های روشنی به صورت رگه‌ای و عدسی‌شکل و یا به صورت ساختارهایی در سایه فشارشی حضور دارند که آنها لوکوسوم هستند و بیشتر آنها اکثراً مرز تدریجی و گاه مشخص با بخش‌های تیره‌تر دارند. بخش‌های روشن دارای مجموعه کانیایی عمدتاً کوارتز و فلدسپار پتاسیم هستند که با کانی‌های فرعی پلازیوکلاز + بیوتیت  $\pm$  مسکوویت  $\pm$  کردیریت + گارنت  $\pm$  سیلیمانیت همراه می‌شوند. در بسیاری بخش‌ها، لوکوسوم‌ها توسط بخش‌های بسیار تیره عمدتاً شامل مجموعه بیوتیت + گارنت + سیلیمانیت منشوری + کردیریت  $\pm$  فلدسپار پتاسیم  $\pm$  پلازیوکلاز  $\pm$  کوارتز محاصره می‌شوند (شکل ۲‌ب). این بخش‌ها که عمدتاً گسترش کم و ضخامت‌های نازکی دارند و از اجزای عمدتاً مافیک تشکیل شده‌اند را می‌توان ملانوسوم نامید. گاه ملانوسوم‌ها به صورت متناوب (شکل ۲‌الف) و یا به دام افتاده در لوکوسوم‌ها (شکل‌های ۲ ج و ۲ د)

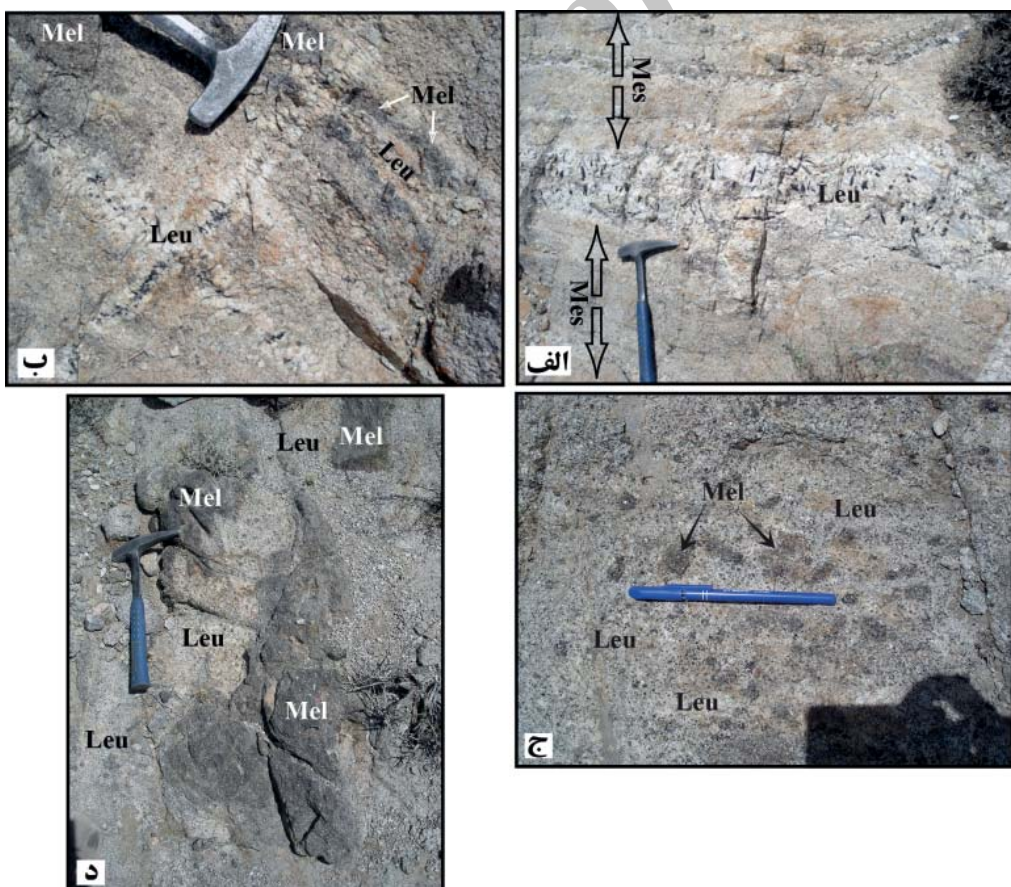
(Berberian and King, 1981) این سنگ‌ها دارای مجموعه‌های کانیایی متداولی از سری رخساره‌های بارووین هستند و به علت عملکرد زون‌های برشی - راندگی، به صورت تیغه‌های فلسی‌شده، رخنمون یافته‌اند. توده‌های نفوذی با ترکیب گرانیتی تا دیوریتی و یا گابروپی در انتهای تریاپس و ژوراسیک به بخش جنوبی زون فوق نفوذ کرده‌اند (Berberian and King, 1981; Mohajjel et al., 2003; Shahabpour, 2005, 2007; Arvin et al., 2007; Sheikholeslami et al., 2008).

سه رخداد زمین‌شناسی مشخص در ناحیه شرق نیریز قابل مشاهده است. اولین رخداد، دگرگونی ناحیه‌ای و دگرشکلی همزمان با کوهزایی است (Sheikholeslami et al., 2008; Fazlnia et al., 2007, 2009) اثر ضخیم‌شدن پوسته قاره‌ای توسعه یافته است (Sheikhole- slami et al., 2008; Fazlnia et al., 2007, 2009) باعث دگرگونی و دگرشکلی کمپلکس قوری (شرق نیریز) در حد فشار و دما متوسط سری بارووین شد. این کمپلکس عمدتاً از سنگ‌های بازی (آمفیبولیت)، آهکی (کالک شیست) و پلیتی (کیانیت شیست) دگرگون شده، تشکیل شده است. سن این واقعه دگرشکلی - دگرگونی که همزمان با فعالیت زمین‌ساختی بوده مربوط به ژوراسیک پیشین است (Sheikholeslami et al., 2008). دیگر محققان (Fazlnia et al., 2007, 2009) سن این رخداد بر اساس سن‌یابی ایزوتوپی U-Th-Pb  $189.0 \pm 2.7$  میلیون سال تعیین شده است. پس از این رخداد، عملکرد سیستم کافت در سرزمین ابرقاره گندوانا (Golonka, 2004; Sears et al., 2005) باعث شد تا در یک سامانه کافتی اولیه در حال گسترش (Incipient Rift)، مagma تیسم ناکوهزایی در شمال شرق توسعه یابد (فضل‌نیا، ۱۳۹۰) در اثر این رخداد، باتولیت ناهمگن تله‌پهلوانی به صورت قدرتمند به سیمه سنگ‌های نیمه‌پلیتی - پلیتی دگرگون شده (بیوتیت - گارنت - کیانیت شیست: کیانیت + گارنت + بیوتیت + مسکوویت + کوارتز + پلازیوکلاز) شمال شرق کمپلکس دگرگونی قوری نفوذ کرد. ترکیب اولیه این باتولیت عمدتاً سنگ‌های لوکوکوارتر دیوریت - آنورتوزیت همراه با نفوذی‌های کوچک مافیک - اولترامافیک است (Fazlnia et al., 2007, 2009) فضل‌نیا، ۱۳۹۰) فرو افتادن قطعاتی از دگرگونی ناحیه‌ای قوری و میگماتیتی شدن آن و در نهایت تشکیل گرانیت‌های پرآلومینوس در این کمپلکس آذرینی موضوع مورد بحث در این مقاله است.

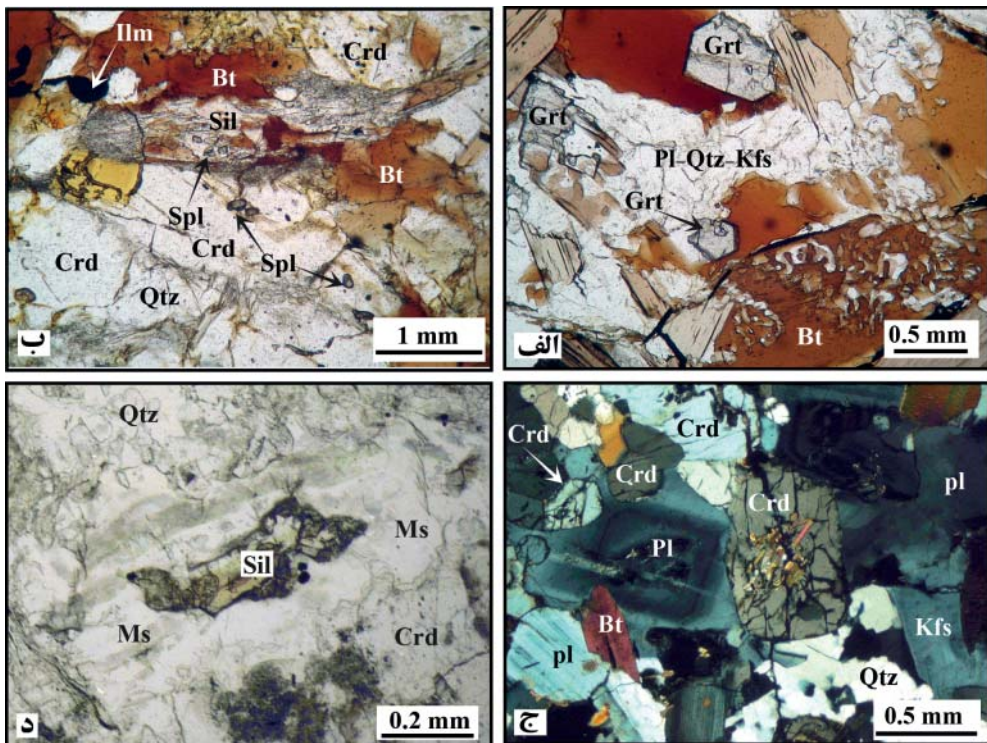
پس از گسترش این کافت به اقیانوس نوتیس، فروزانش این اقیانوس در لبه جنوبی زون دگرگونی سنندج - سیرجان در حوالی شرق نیریز، باعث شد تا یک فرایند دگرگونی مرتبط با کمان، کمی پیش از ۱۴۷ میلیون سال پیش (Fazlnia et al., 2009) از سنگ‌های غربی دگرگونی ناحیه‌ای کمپلکس دگرگونی قوری را تحت تاثیر قرار می‌دهد. در نتیجه این فرایند، ذوب‌بخشی در

میگماتیتی‌های دارای ساختار نبولیتیک یا رفت (شولن)، به دلیل حضور بیشتر بخش لوکوسوم لاپهندی میگماتیت تقریباً محو شده است. به عبارت بهتر مذاب فراوان، باعث خرد شدن لاپهندی میگماتیتی شده است. به چنین ساختاری دیاتکسیت می‌گویند. دیاتکسیت‌ها ترکیب نزدیکی با بسیاری از گرانیت‌های پرآلومینوس مطالعه شده، به وسیله Sawyer (1996) دارند (به بخش ژئوشیمی مراجعه شود). در بخش‌هایی با چنین ساختارهای توسعه یافته، مجموعه‌های کانیایی در مزوسم و ملانوسوم‌ها فاقد مسکوویت هستند و بیوتیت و گارنت (شکل ۳ الف) و تا حدودی سیلیمانیت (شکل ۳ ب) تحلیل رفته‌اند. علاوه بر این، مقدار مودال کردیریت (شکل ۳ ج) و سیلیمانیت منشوری بیشتر شده است. چنین مشخصه‌ای نشان می‌دهد که احتمالاً کانی‌های تحلیل رفته، در طول ذوب‌بخشی فازهای ناپایدار بوده‌اند. به علاوه تبلور چنین مذاب‌هایی می‌تواند پلازیوکلازهای ماقمایی با ترکیب الیگوکلاز تولید کند که دارای زون‌بندی شیمیایی و نشانگر تبلور از مذاب است (شکل ۳ ج). این بلورها، دانه‌های کردیریت و بیوتیت را در بر گرفته‌اند که نشانگر تبلور بلورهای پلازیوکلاز از مذاب بعد از رخداد این بلورها است. به نظر McMillan et al. (2003) هنگامی که بیوتیت فاز واکنش‌دهنده در حین ذوب‌بخشی باشد

مشاهده می‌شوند. در ساختارهای میگماتیتی بخش‌هایی حجیمی وجود دارد که مخلوطی از اجزای مافیک (مانند ملانوسوم) و فلیسیک (مانند لوکوسوم) هستند (شکل ۲ الف) که به صورت لاپهندی تفریقی (تفريق دگرگونی) قابل مشاهده هستند که مزوسم نامیده می‌شوند. در بسیاری بخش‌ها، ملانوسوم مانند پرده‌ای بین لوکوسوم و مزوسم قرار می‌گیرد (شکل ۲ ب). میگماتیت‌های مورد مطالعه بیشتر ساختار استروماتیک لایه‌ای (شکل ۲ الف)، دیکتیونیتیک (شکل ۲ ب)، رفت (شولن؛ شکل ۲ ج) و نبولیتیک (شکل ۲ د) دارند. در بخش‌هایی با مقدار مذاب کم که میگماتیت به صورت ساختار لایه‌ای مانند مشاهده می‌شود (فابریک‌های استروماتیک لایه‌ای یا دیکتیونیتیک)، مقدار مذاب (لوکوسوم) به حدی نیست که باعث خرد شدن ملانوسوم و مزوسم شود و مذاب بتواند به راحتی جریان یابد. به چنین ساختارهایی با لایه‌بندی میگماتیتی حفظ شده، متابکسیت می‌گویند (شکل‌ها ۲ الف و ۲ ب). مطالعه دقیق میکروسکوپی این بخش‌ها نشان داد که در مجموعه کانیایی آنها، مسکوویت مودال کمی، حضور دارد و بیوتیت‌ها و گارنت‌ها تقریباً تحلیل نرفته‌اند. چنین مشخصه‌ای نشان می‌دهد که مسکوویت در طول ذوب‌بخشی به طور گسترده فاز ناپایدار بوده است.

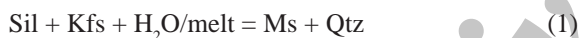


شکل ۲- رخمنون‌های رایج از ساختارهای میگماتیتی در بیگانه سنگ‌های شیستی فرو افتاده از شیسته‌های کمپلکس دگرگونی ناحیه‌ای قوری. (الف) میگماتیت متابکسیتی با ساختار استروماتیک لایه‌ای. (ب) میگماتیت متابکسیتی دیکتیونیتیک. (ج) میگماتیت دیاتکسیتی با ساختار رفت (شولن). (د) میگماتیت دیاتکسیتی با ساختار نبولیتیک. نمادهای اختصاری: Leu = لوکوسوم؛ Mel = ملانوسوم؛ Mes = مزوسم.



شکل ۳- عکس های میکروسکوپی از بیگانه سنگ های شیستی میگماتیتی شده و لوکوگرانیت پرآلومینوس. سه تصویر الف (XPL)، ب (PPL) و ج (PPL) از بخش های مختلف یک مقطع نازک تهیه شده است. تحلیل رفته بلورهای بیوتیت، گارنت و سیلیمانیت واضح است. همچنین تبلور پلاژیوکلاز ماسگمایی در شکل ج بلورهای کردیریت و بیوتیت را در بر گرفته است. د)- احاطه شدن بلور سیلیمانیت منشوری به وسیله مسکوویت (در نور PPL). مخفف کانی ها از Kretz, 1983

ایجاد کند.



دیگر میانبارهای گرانیتی موجود در کمپلکس نفوذی تله پهلوانی، غنی در بلورهای کردیریت هستند. این سنگها عمدتاً در بخش جنوب غربی این کمپلکس یعنی جاییکه کمپلکس دگرگونی قوری از سنگهای رسی و نیمه رسی تشکیل شده، رخنمون دارند. این گرانیتها در نزدیکی بیگانه سنگ های میگماتیتی دیاتکسیتی حضور دارند. در این گرانیتها، گارنت یا حضور ندارد یا به شدت تحلیل رفته است. بلورهای کردیریت درشت دانه بوده و بر اساس رنگ تداخلی، بخش مرکزی غنی از  $\text{CO}_2$  و بخش بیرونی غنی از  $\text{H}_2\text{O}$  است. بلورهای مسکوویت عمدتاً در اطراف گارنتها و سیلیمانیتها به شدت تحلیل رفته و یا کردیریتها حضور دارند (یک واکنش دگرگونی برگشتی). همچنین در صد مودال بلورهای بیوتیت بسیار کمتر از گرانیت های گارنت دار و حدود ۱ تا ۲ درصد است. سیلیمانیت ها مانند گارنت، به شدت تحلیل رفته و به وسیله مسکوویت ها احاطه شده اند. در شکل ۲ د به خوبی یک میگماتیت دیاتکسیتی به یک گرانیت غنی در کردیریت متنه می شود.

به نظر فضل نیا (۱۳۸۸) عدم آمیخته شدن این مذاب های گرانیتی جدا شده از این بیگانه سنگ های میگماتیتی با ماقمای اصلی این کمپلکس (لوکوکوارتز دیوریت - آنورتوزیت)، به دلیل ترکیب و دما مختلف این دو مذاب است.

(شکل ۳ الف)، به اندازه کافی مذاب تولید می شود که بر نیروهای چسبنده ای بین مذاب و فازهای دیرگداز غلبه کرد و به صورت عدسی ها گرانیتی خارج و به هم متصل شوند (شکل ها ۲ ج و ۲ د). در محدوده مورد مطالعه لخته های گرانیتی پرآلومینوس در مجاورت چنین ساختارهایی قرار می گیرند.

قطر میانبارهای لوکوگرانیتی، به چندین سانتی متر تا چندین ده متر و به ندرت تا ۷۰ متر می رسد و با گسترش در بخش های مرکزی و جنوب غربی کمپلکس نفوذی تله پهلوانی (در تماس گسلی با بخش شمال شرقی کمپلکس دگرگونی قوری)، رنگ کاملاً روشنی دارند و عمدتاً از کوارتز، فلدسپار پتاسیم و مسکوویت (همراه کمی گارنت و کردیریت) تشکیل شده اند. بلورهای پلاژیوکلاز کم بوده و ترکیب الیگوکلازی دارند. بر اساس رخداد گارنت یا کردیریت دو نوع از این گرانیتها رخنمون دارند: انواع غنی از گارنت عمدتاً در بخش های مرکزی این کمپلکس و همراه با بیگانه سنگ های میگماتیتی متابکسیت مشاهده می شوند. دانه های گارنت خودشکل بوده و همراه با بیوتیت و مسکوویت هستند. با توجه به شکل ۳ د بسیاری از بلورهای مسکوویت دارای میانبارهای<sup>۱</sup> سیلیمانیتی منشوری هستند. چنین مشخصه ای نشان می دهد که پس از جدایش مذاب لوکوسومی از میگماتیت، بلورهای مسکوویت، از واکنش برگشتی مذاب با بلورهای دیرگداز (سیلیمانیت) تولید شده اند. بنابراین چنین واکنشی می تواند تغییراتی در ترکیب شیمیایی لوکوسوم ها

شدن کرندوم و هیبرستن در نورم CIPW نشان داده می‌شود. به طور کلی، این سنگ‌ها از اکسیدهای  $TiO_2$  و  $MnO_2$  فقیر هستند و در مقابل در اکسیدهای  $K_2O$  و  $FeO$  غنی‌تر هستند. مقادیر میانگین اکسیدهای  $O$  و  $MgO$  به ترتیب  $1/86$  و  $1/56$  درصد وزنی و میانگین اکسید  $P_2O_5$  حدود  $0/14$  درصد وزنی است. این مقادیر با مطالعات سنگنگاری تطابق کامل دارد، به گونه‌ای که همه نمونه‌ها، از بلورهای آلومینیم‌دار (مانند بیوتیت، مسکوویت، گارنت) غنی هستند. فراوانی اکسیدهای سدیم و به ویژه پتاسیم با فراوانی‌های موادال بیوتیت، مسکوویت و فلذسپار پتابسیم هماهنگ است. فراوانی نسبی گارنت‌های آلمانند - پیروپ (فضل‌نیا،  $1388$ ) و کردیریت و بیوتیت‌های فراوان به همراه مقادیر جزئی ایلمنیت موجب افزایش نسبی درصد وزنی اکسیدهای آهن و منیزیم شده است. رخداد بلورهای آپاتیت به صورت منشوری نشانگر تبلور آنها از مذاب است. به علاوه این آپاتیت‌ها غنی از کلر و آب هستند (فضل‌نیا،  $1388$ ) که نشانگر دماهای پایین تشکیل آنهاست (Sha and Chappell, 1999).

## ژئوشیمی سنگ

ترکیب شیمیایی  $20$  نمونه از سنگ‌های موجود در کمپلکس تله‌پهلوانی با دستگاه XRF (مدل Philips PW 480) در دانشگاه کیل آلمان انجام شد. برای اندازه‌گیری عناصر جزئی و خاکی ICP-MS (inductively coupled plasma-mass spectrometry) یکی در دانشگاه کیل با مدل 7500cs AG در کانادا استفاده شد. جدول  $1$  و  $2$  به ترتیب این تجزیه‌ها را نشان می‌دهند.

### ۱- متاپلیت‌های ناحیه‌ای و بیگانه سنگ‌های بدون ساختار میگماتیتی

محتوای  $SiO_2$  از  $58$  و  $67$  درصد وزنی متغیر بوده و میانگین آن  $62$  درصد وزنی است. بیشتر نمونه‌ها غنی از آلومینیوم هستند و میانگین آن  $17/5$  درصد وزنی است. ترکیب متوسط این سنگ‌ها در محدود پرآلومینوس رسم می‌شوند که نشانگر غنی بودن این سنگ‌ها از آلومینیم است (شکل  $4$ ). چنین مطلبی به‌وسیله ساخته

جدول ۱- تجزیه شیمیایی XRF بر روی رخنمون‌های مختلف سنگی کمپلکس تله‌پهلوانی

Sample	140-1	187	190-B	189-E	260	264	272	181-E	182-E2	183-E1	188-E1	189-E3	190-E1
Rock type	P-g	Xeno	Xeno	Xeno	Xeno	Xeno	Xeno						
	Grt	Grt	Grt	Crd	Crd	Crd	Crd	Mig	Mig	Mig	Kiel	Kiel	Kiel
	Kiel	Kiel	Kiel	Kiel	Kiel								
$SiO_2$	74.12	73.91	73.58	74.45	74.29	75.30	75.24	43.39	62.68	57.22	66.82	64.25	59.22
$Al_2O_3$	13.85	14.03	14.18	13.85	13.65	13.18	13.11	26.77	17.71	20.12	16.41	16.65	18.83
$TiO_2$	0.06	0.05	0.05	0.09	0.07	0.09	0.08	2.14	0.92	1.17	0.29	0.58	0.39
$MgO$	0.14	0.11	0.13	0.27	0.31	0.26	0.28	5.17	2.07	4.87	1.90	2.15	3.75
$FeO^*$	1.28	1.10	1.38	1.21	1.20	1.24	1.23	15.74	6.92	10.53	5.84	4.85	6.27
$CaO$	0.65	0.72	0.59	0.71	0.66	0.63	0.56	0.84	1.34	1.21	2.44	3.05	1.59
$P_2O_5$	0.10	0.11	0.12	0.11	0.11	0.12	0.12	0.03	0.15	0.08	0.05	0.12	0.13
$Na_2O$	2.04	1.82	2.32	2.95	2.73	2.87	2.83	0.79	1.79	0.84	2.16	2.88	2.44
$K_2O$	5.95	6.20	6.10	5.05	5.21	5.04	5.10	1.76	3.90	1.55	1.70	2.55	4.12
$MnO$	0.06	0.07	0.06	0.04	0.05	0.05	0.04	0.40	0.11	0.34	0.18	0.24	0.20
Total	98.25	98.16	98.51	98.77	98.28	98.81	98.64	97.21	97.75	97.93	97.86	97.32	96.94
$H2O+$	1.25	1.08	0.75	0.91	1.12	0.86	0.84	2.02	2.07	1.81	2.03	2.32	1.65
<b>CIPW norm</b>													
Qtz	37.09	37.26	34.79	35.37	35.91	36.91	36.98	10.74	26.62	28.56	35.01	24.51	15.51
Or	35.16	36.64	36.05	29.84	30.79	29.78	30.14	10.40	23.05	9.16	10.05	15.07	24.35
Ab	17.26	15.40	19.63	24.96	23.1	24.29	23.95	6.68	15.15	7.11	18.28	24.37	20.65
An	2.57	2.85	2.14	2.80	2.56	2.34	1.99	3.97	5.67	5.48	11.78	14.35	7.04
Crn	3.11	3.28	2.98	2.50	2.58	2.15	2.20	22.11	8.47	15.05	6.7	3.89	7.78
Hy	2.71	2.34	2.24	2.82	2.95	2.87	2.90	38.99	16.55	30.17	15.31	13.75	20.58
Ilm	0.11	0.09	0.10	0.17	0.13	0.17	0.15	4.06	1.75	2.22	0.55	1.10	0.74
Ap	0.23	0.25	0.28	0.25	0.25	0.28	0.28	0.07	0.35	0.19	0.12	0.28	0.30

$FeO^*$  is total  $FeO$ ; Kiel = Kiel University; Xeno = Xenolith; P-g = Per-aluminous granite; Grt = Garnet; Crd = Cordierite.

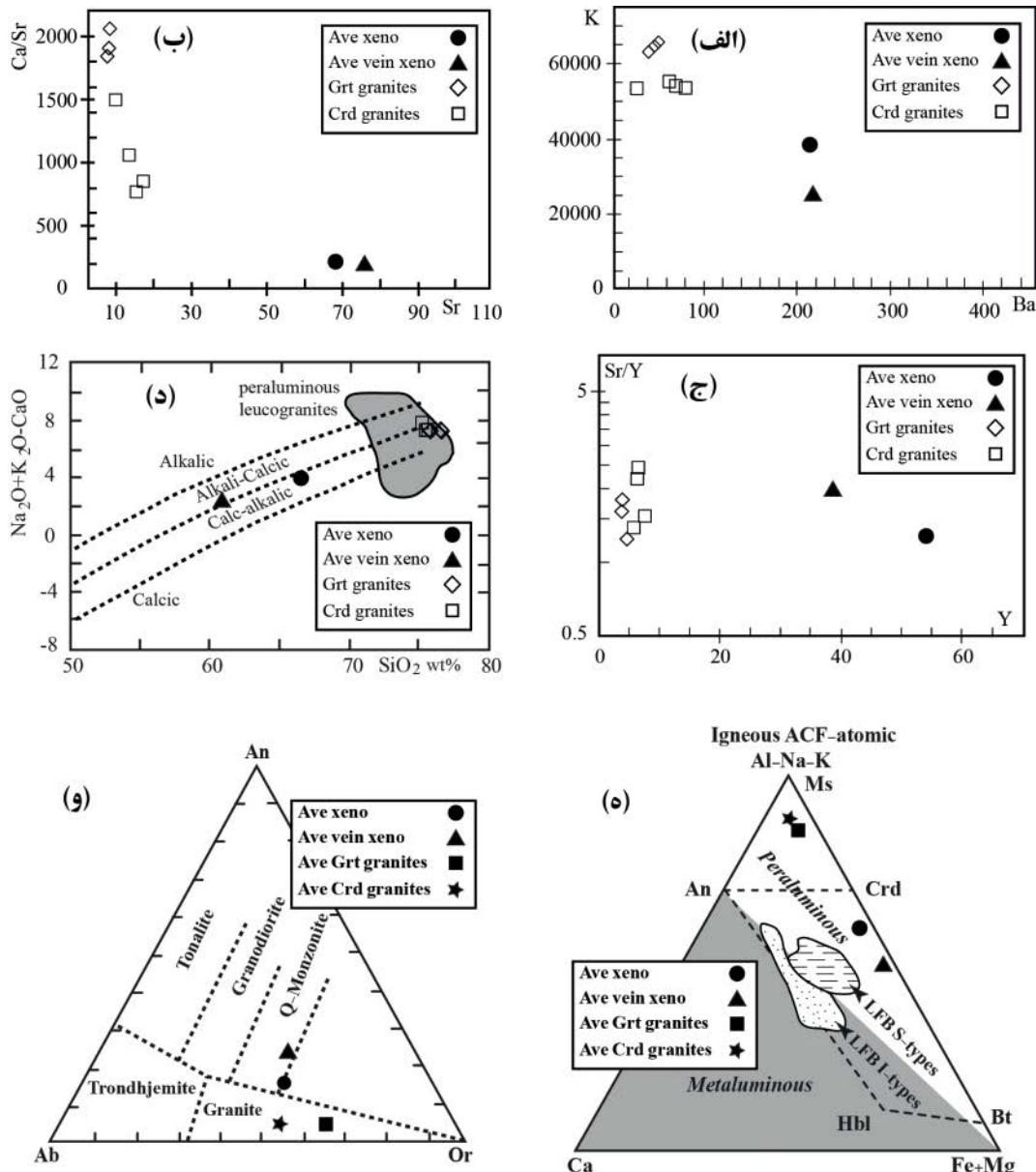
Mig = Migmatitic xenolith; Pelite = Metapelite

ادامه جدول -۱

Sample Rock type	191-E5 Xeno	192-E2 Xeno	193-E3 Xeno	111-c Pelite	114-a Pelite	220 Pelite	221 Pelite	Average Garnet Granite	Average Crdierite Granite	Average migmatite Xenolith	Average metapelite & Xenolith
	Kiel	Kiel	Kiel	Kiel	Kiel	Kiel	Kiel				
SiO <sub>2</sub>	63.05	65.11	60.22	59.04	64.16	58.2	60.64	73.87	74.82	54.43	62.07
Al <sub>2</sub> O <sub>3</sub>	17.13	16.36	17.35	19.41	16.96	19.48	16.09	14.02	13.45	21.53	17.47
TiO <sub>2</sub>	0.85	0.75	0.87	0.81	0.74	0.88	0.85	0.05	0.08	1.41	0.70
MgO	2.55	2.01	3.55	1.87	3.56	3.46	3.65	0.13	0.28	4.04	2.85
FeO*	6.33	5.88	7.49	5.80	5.65	6.96	7.50	1.25	1.22	11.06	6.26
CaO	2.21	2.45	1.22	0.64	0.74	0.52	0.75	0.65	0.64	1.13	1.56
P <sub>2</sub> O <sub>5</sub>	0.09	0.11	0.19	0.17	0.15	0.21	0.21	0.11	0.12	0.09	0.14
Na <sub>2</sub> O	1.73	1.81	1.94	0.43	1.58	1.71	1.93	2.06	2.85	1.14	1.86
K <sub>2</sub> O	3.87	2.94	4.18	6.81	2.33	3.75	4.09	6.08	5.10	2.40	3.63
MnO	0.24	0.18	0.17	0.27	0.06	0.08	0.16	0.06	0.05	0.28	0.18
Total	98.05	97.60	97.18	95.25	95.93	95.25	95.87	98.31	98.62	97.63	96.73
H <sub>2</sub> O <sup>+</sup>	1.48	1.88	1.68	3.45	3.43	3.52	2.4	1.03	0.93	1.97	2.38
CIPW norm											
Qtz	25.04	30.89	19.82	22.33	35.36	23.00	21.54	36.28	36.27	21.97	25.3
Or	22.87	17.37	24.70	40.24	13.77	22.14	24.17	35.93	30.14	14.20	21.45
Ab	14.64	15.32	16.42	3.64	13.37	14.47	16.33	17.43	24.12	9.65	15.74
An	10.38	11.44	4.81	2.06	2.69	1.21	2.35	2.51	2.39	5.04	6.82
Crn	6.29	6.01	7.87	10.57	10.85	12.17	7.63	3.13	2.37	15.21	7.98
Hy	17.02	14.90	21.47	14.47	18.13	20.09	21.76	2.65	2.9	28.57	17.77
Ilm	1.61	1.42	1.65	1.54	1.41	1.67	1.61	0.09	0.15	2.68	1.33
Ap	0.21	0.25	0.44	0.39	0.35	0.49	0.49	0.25	0.28	0.20	0.32

سنگ‌ها بوده است. به علاوه فراوانی استرانسیم در هر دو نوع گرانیت متفاوت است که در قسمت مربوطه بحث شده است. مشابه بودن نگهدارنده‌های Sr و Eu در سنگ‌های مورد مطالعه (متاپلیت‌های ناحیه‌ای و بیگانه سنگ‌های بدون ساختار میگماتیتی) و یکسان بودن نسبت Sr/Y (شکل ۴ ج) نشان می‌دهد که هم Sr و هم Eu دقیقاً سازگاری مشابهی را در حین ذوب‌بخشی داشته‌اند. بی‌هنجری منفی در Eu (شکل‌های ۵ ج، ۵ د، ۶ ج و ۶ د) و تیتانیم (شکل‌های ۵ ج و ۵ د)، ناشی از پایین‌بودن مقدار فراوانی این دو عنصر در سنگ مادر اولیه هستند. همچنین کانی‌هایی که می‌توانند باعث نگهداری این عناصر شوند (به ترتیب پلازیوکلاز و ایلمینیت) در این سنگ‌های اولیه بسیار کم هستند. مقادیر میانگین Smn / Lan/Ybn و Gdn/Ybn و Lan/Smn ، Lan/Ybn ، Lan/Ybn / Ca/Sr می‌گردد. نمونه‌های پلیتی دگرگون شده و هم بیگانه سنگ‌های بدون ساختار میگماتیتی (جدول ۲، شکل‌های ۵ و ۶)، نشان می‌دهند که LREE بسیار غنی‌تر از MREE و به ویژه HREE هستند. الگوی عناصر HREE به صورت مسطح بوده که نشانگر پایین‌بودن عیار اولیه این عناصر در سنگ مادر اولیه است.

مقدار باریم در نمونه‌های پلیتی دگرگون شده و هم بیگانه سنگ‌های بدون ساختار میگماتیتی یک بی‌هنجری منفی را نسبت به عناصر مجاور خود نشان می‌دهند (شکل ۵). افزون بر این، در شکل ۴ الف که دو عنصر باریم و پاتاسیم را مقایسه به هم نمایید، بیان می‌کند که در حین ذوب‌بخشی، باریم عنصری پایدار بوده و نتوانسته وارد مذاب شود. بنابراین کانی‌های پاتاسیم‌داری که برای تولید مذاب، ناپایدار شده‌اند، عاملی در تغییرات یا فراوانی عنصر باریم نبوده‌اند. بی‌هنجری‌های منفی این عنصر نشان می‌دهد که احتمالاً سنگ مادر اولیه اصلتاً از باریم فقیر بوده است. همچنین مطالعه فراوانی استرانسیم نشان می‌دهد که این عنصر، بی‌هنجری منفی واضحی در نمودارهای عنکبوتی چندعنصری هم در پلیت‌های دگرگون شده ناحیه‌ای و هم بیگانه سنگ‌های بدون ساختار میگماتیتی دارد. مطالعه میکروسکوپی نشان می‌دهد که این سنگ‌ها در بلورهای پلازیوکلاز فقیر هستند. بنابراین احتمالاً چنین بی‌هنجری ناشی از این مشخصه میکروسکوپی است. مقایسه این عناصر در نمودار Sr در مقابل Ca/Sr نشان می‌دهد که استرانسیم یک فاز پایدار در حین ذوب‌بخشی بیگانه



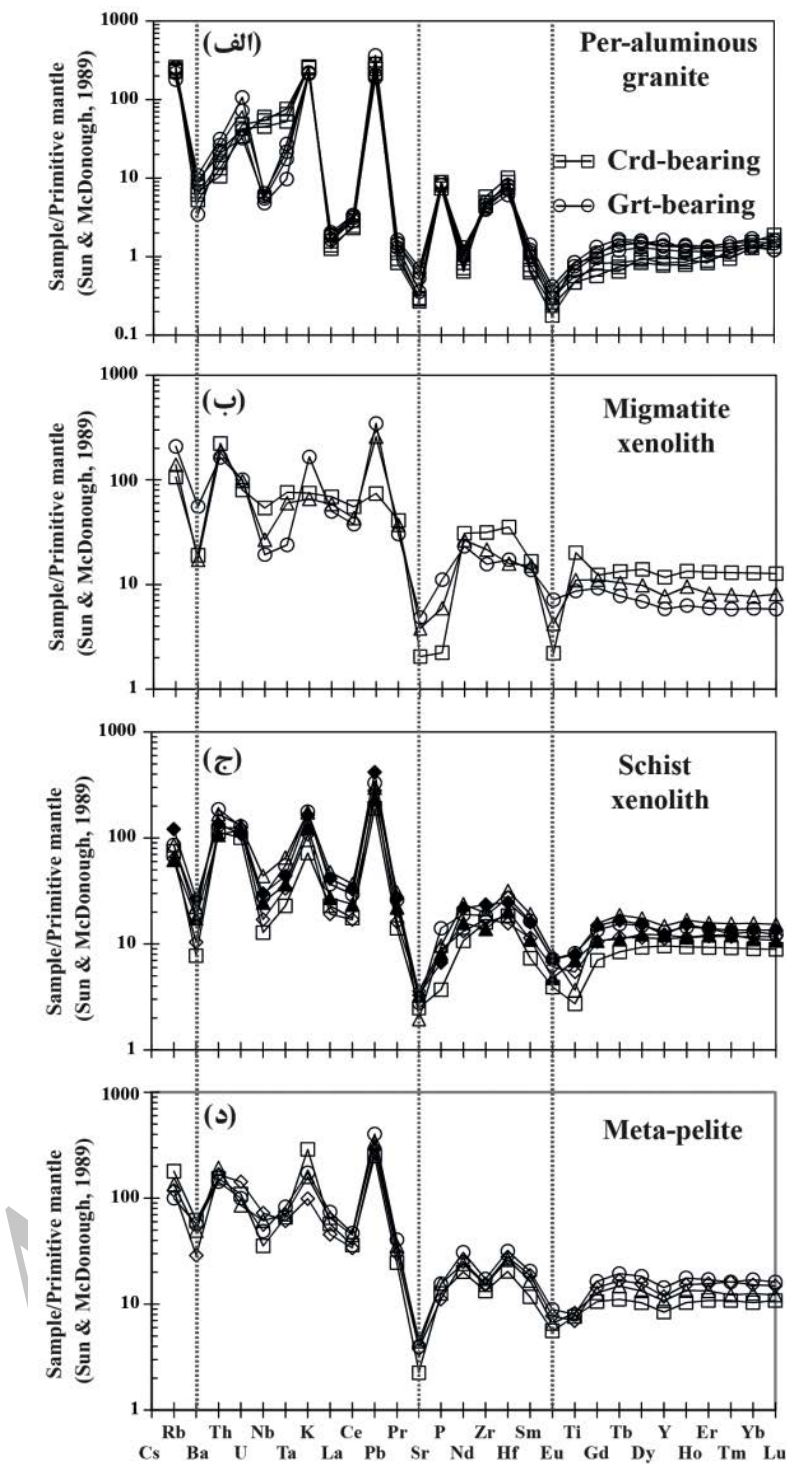
شکل ۴- نمودارهای تغییرات و توصیفی ژئوشیمیایی. (الف)- نمودار تغییرات K در برابر نسبت‌های عنصری Ca/Sr. (ب)- نمودار تغییرات Sr در برابر Ba. (ج)- نمودار تغییرات Y در برابر نسبت‌های عنصری Sr/Y. (د) نمودار توصیفی محدوده لوكوگرانیت‌های پرآلومینوس (Sr-Al-Na-Ca-(Al-Na-K)-(Fe+Mg)). (ه) نمودار متالیتی نورماتیو (Ab-An-Or) (Barker, 1979). (و) نمودار مثلاشی نورماتیو (Healy et al., 2004) برای نمونه‌های سنگی پرآلومینوس و متاآلومینوس (Frost et al., 2001)

دیرگداز بیگانه سنگ‌های میگماتیتی (ملانوسوم یا رستیت) می‌تواند دلیلی برای این افزایش برخی اکسیدها در بیگانه سنگ‌های میگماتیتی باشد.

وجود بیهنجاری‌های منفی Sr، Ba و Eu در بیگانه سنگ‌های میگماتیتی (شکل‌های ۵ ب و ۶ ب) ناشی از تهی شدگی سنگ مادر اولیه (شکل‌های ۵ ج، ۵ د، ۶ ج و ۶ د) از این عناصر است. بالاتر بودن میانگین عیار Sr در بیگانه سنگ‌های میگماتیتی نسبت به متوسط نمونه‌های پلیتی دگرگون شده و بیگانه سنگ‌های بدون ساختار میگماتیتی نشان می‌دهد که Sr در حین ذوب‌بخشی فاز پایدار بوده است. در ضمن کاهش مقدار Y و افزایش در محتوای نسبت Y/Sr (شکل ۴ ج) نشان می‌دهد که پلازیوکلاز

## ۲- بیگانه سنگ‌های میگماتیتی

میانگین ترکیبی اکسیدهای  $\text{SiO}_2$ ,  $\text{K}_2\text{O}$ ,  $\text{Na}_2\text{O}$  و  $\text{CaO}$  و  $\text{P}_2\text{O}_5$  (جدول ۱) نشان می‌دهد که این عناصر در بعضی موارد کاهش نسبت به نمونه‌های پلیتی دگرگون شده و هم بیگانه سنگ‌های بدون ساختار میگماتیتی دارند. افزون بر این، میانگین ترکیبی اکسیدهای  $\text{Al}_2\text{O}_3$ ,  $\text{TiO}_2$ ,  $\text{MgO}$ ,  $\text{FeO}$  و  $\text{MnO}$  یک افزودگی مشخصی نسبت به نمونه‌های ذکر شده در بند ۱-۴ دارند. این مشخصات به همراه شواهد صحرایی و بررسی‌های سنگ‌نگاری نشان می‌دهد که دلیل چنین تغییراتی، خروج مذاب‌های فلزیک از این سنگ‌هاست. باقی ماندن کردیریت، گارنت، بیوتیت و بخش‌های کلسیک پلازیوکلاز در بخش‌های

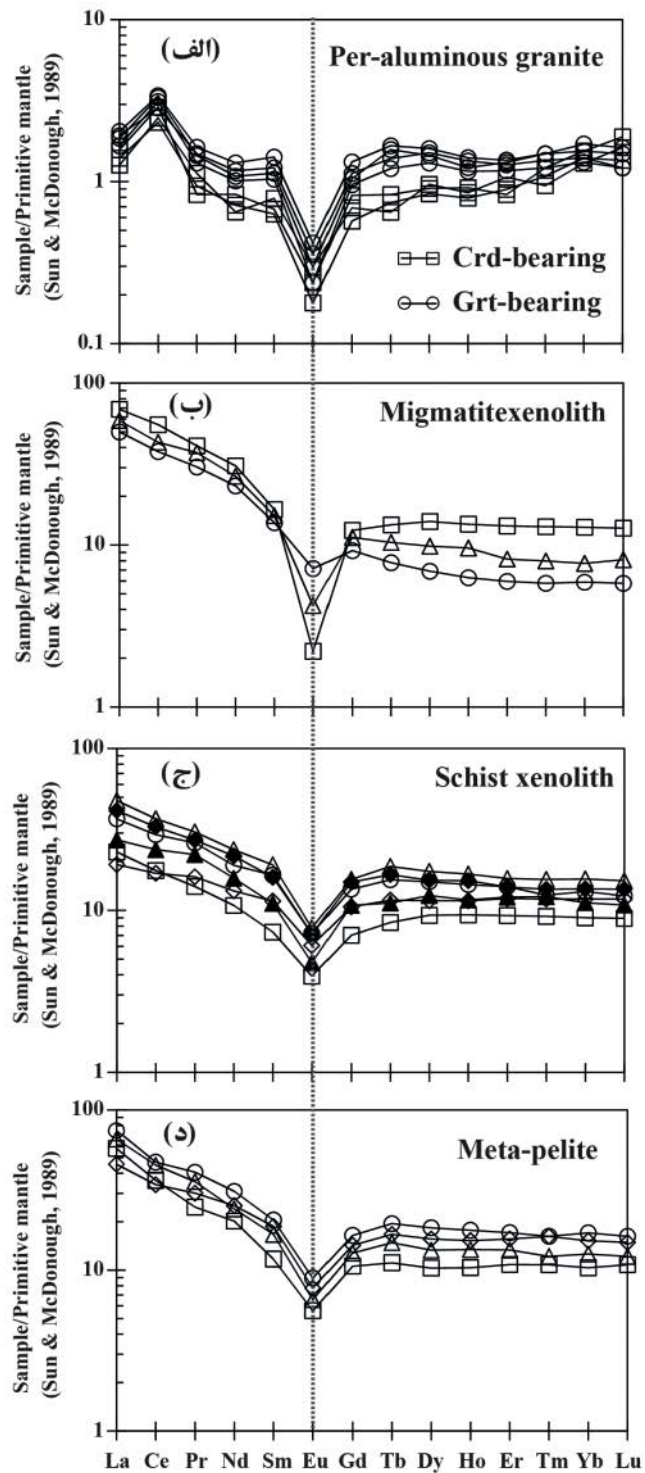


شکل ۵- نمودارهای عنکبوتی چندعنصری بهنجار شده بر اساس پوسته قاره‌ای (Taylor and McLennan, 1985). (الف) نمودار چندعنصری لوکوگرانیت‌های پرآلومینوس، ب) نمودار چندعنصری بیگانه سنگ‌های میگماتیتی. ج) نمودار چندعنصری بیگانه سنگ‌های شیستی. د) نمودار چندعنصری سنگ‌های نیمه‌پلیتی دگرگون شده از کمپلکس دگرگونی قوری.

MREE و بهویژه HREE در بیگانه سنگ‌های میگماتیتی کمتر از نمونه‌های پلیتی دگرگون شده و بیگانه سنگ‌های بدون ساختار میگماتیتی است.

بالاتر بودن مقادیر متوسط Rb/Sr, Rb/Ba, Lan/Ybn, Lan/Gdn/Ybn و Smn بیگانه سنگ‌های میگماتیتی از نمونه‌های پلیتی

نقش چندانی در واکنش‌های ذوب‌بخشی بیگانه سنگ‌های ایفاء نکرده است. کاهش در محتوای Y بیگانه سنگ‌های میگماتیتی نشان می‌دهد که احتمالاً قسمتی از گارنت در برخی از این بیگانه سنگ‌ها فاز ناپایدار در واکنش‌های ذوب‌بخشی بوده است. این استدلال با این واقعیت همراهی می‌شود که متوسط ترکیبی



شکل ۶- نمودارهای عنکبوتی عناصر خاکی کمیاب بهنجار شده بر اساس پوسته قاره‌ای (Taylor and McLennan, 1985). الف) نمودار چندعنصری لوکوگرانیت‌های پرآلومینوس، ب) نمودار عناصر خاکی کمیاب بیگانه سنگ‌های میگماتیتی. ج) نمودار عناصر خاکی کمیاب بیگانه سنگ‌های شیستی. د) نمودار عناصر خاکی کمیاب سنگ‌های نیمه پلیتی دگرگون شده از کمپلکس دگرگونی قوری. نماد نمونه‌ها مشابه شکل ۵ است.

محدود بودن مقدار ذوب‌بخشی بیگانه سنگ‌ها است. بالاتر بودن سه نسبت عناصر خاکی کمیاب نشان می‌دهد که عناصر ناسازگارتر از MREE و مخصوصاً HREE است و در درصد ذوب‌بخشی پایین از بخش‌های دیرگذار خارج شده‌اند (جدول ۲؛

دگرگون شده و بیگانه سنگ‌های بدون ساختار میگماتیتی نشان می‌دهد که در بین عناصر با شعاع یونی بزرگ، Rb نسبت به دو عنصر Ba و Sr سازگارتر بوده و در حین ذوب‌بخشی در فازهای دیرگذار باقی مانده است. چنین درصد ذوبی نشانگر

جدول ۲- تجزیه شیمیایی ICP-MS بر روی رخنمون‌های مختلف سنگی کمپلکس تله‌پهلوانی.

Sample	140-1	187	190-B	189-E	260	264	272	181-E	182-E2	183-E1	188-E1	189-E3	190-E1
Rock type	P-g	Xeno	Xeno	Xeno	Xeno	Xeno	Xeno						
	Grt	Grt	Grt	Crd	Crd	Crd	Crd	Mig	Mig	Mig	Kiel	Kiel	Kiel
	Kiel												
V	3.32	2.23	2.85	5.05	6.65	7.59	7.32	266.33	138.90	185.42	64.41	85.25	112.20
Cr	1.06	0.89	0.97	2.46	2.89	3.23	2.12	153.54	79.94	94.01	64.61	58.60	74.13
Co	0.69	0.49	0.88	1.02	0.95	0.77	0.59	30.24	14.06	19.73	8.97	10.12	17.98
Ni	0.91	1.08	1.12	1.62	1.55	1.30	1.41	106.11	34.16	62.31	25.48	19.87	32.54
Rb	165.12	144.19	148.56	114.38	138.95	157.08	165.05	67.66	132.61	88.47	47.81	40.32	54.17
Sr	6.08	6.28	5.69	15.04	11.21	7.54	13.17	43.25	102.21	80.25	52.49	75.71	41.21
Y	3.78	3.54	4.56	6.31	7.42	5.57	6.14	53.41	26.60	35.34	43.55	51.13	67.14
Zr	65.12	55.29	49.67	46.60	55.15	50.81	44.42	352.27	175.40	241.31	178.87	191.32	219.31
Nb	42.85	32.22	38.65	4.22	4.58	3.43	3.93	38.41	13.77	19.12	9.14	12.15	31.24
Ba	36.78	47.43	43.15	76.43	58.99	24.25	66.08	132.92	389.15	120.31	54.24	72.61	157.19
La	0.87	0.96	1.08	1.40	1.27	1.14	1.32	47.33	34.34	40.27	15.76	13.20	32.74
Ce	4.39	4.12	5.12	6.03	5.87	5.55	5.06	98.18	66.96	76.48	31.26	30.15	65.34
Pr	0.31	0.26	0.23	0.45	0.40	0.36	0.41	11.32	8.37	10.26	3.88	4.45	8.43
Nd	0.88	0.97	1.13	1.77	1.46	1.37	1.58	41.77	31.40	35.89	14.52	17.89	32.12
Sm	0.35	0.28	0.30	0.63	0.50	0.46	0.54	7.37	6.11	6.73	3.26	5.07	8.49
Eu	0.05	0.03	0.04	0.07	0.05	0.04	0.06	0.37	1.20	0.71	0.66	1.02	1.31
Gd	0.41	0.34	0.49	0.79	0.62	0.57	0.67	7.33	5.50	6.63	4.19	6.27	9.28
Tb	0.07	0.08	0.09	0.18	0.17	0.13	0.15	1.44	0.84	1.12	0.91	1.25	2.02
Dy	0.71	0.62	0.67	1.18	1.07	0.96	1.11	10.30	5.08	7.24	6.87	8.45	12.83
Ho	0.14	0.13	0.15	0.23	0.20	0.19	0.22	2.20	1.03	1.57	1.54	1.88	2.75
Er	0.51	0.43	0.40	0.65	0.63	0.56	0.61	6.29	2.86	3.93	4.46	5.68	7.56
Tm	0.07	0.08	0.09	0.11	0.11	0.09	0.10	0.96	0.43	0.59	0.68	0.87	1.15
Yb	0.64	0.69	0.76	0.84	0.76	0.65	0.69	6.35	2.91	3.79	4.44	5.79	7.71
Lu	0.12	0.10	0.14	0.12	0.11	0.09	0.09	0.94	0.43	0.60	0.66	0.87	1.13
Hf	3.12	2.37	2.75	2.23	2.50	2.21	1.88	10.95	5.33	4.89	5.72	4.84	9.78
Ta	2.68	2.16	3.11	1.120	0.89	0.40	0.72	3.11	0.98	2.46	0.94	1.37	2.68
Pb	15.25	17.46	20.12	25.92	20.45	14.47	13.39	5.26	24.59	18.34	13.51	19.87	21.23
Th	1.14	0.90	1.39	2.67	2.24	1.91	1.76	18.93	13.92	15.72	9.73	10.68	14.28
U	0.72	0.90	1.01	2.24	1.52	0.88	0.68	1.68	2.11	2.04	2.11	2.61	2.75
Ti	751	626	626	1126	876	1126	1001	26783	11514	14643	3630	7259	4881
P	704	775	845	775	775	845	845	211	1057	564	352	845	916
K	63166	65820	64759	53612	55310	53505	54142	18684	41403	16455	18047	27071	43739
Na	44367	39582	50457	64158	59374	62418	61548	17181	38930	18269	46977	62636	53067
Rb/St	27.16	22.96	26.11	7.61	12.40	20.83	12.53	1.56	1.30	1.10	0.91	0.53	1.31
Rb/Ba	4.49	3.04	3.44	1.50	2.36	6.48	2.50	0.51	0.34	0.74	0.88	0.56	0.34
K/Ba	1717.4	1387.7	1500.8	701.4	937.6	2206.4	819.3	140.6	106.4	136.8	332.7	372.8	278.3
Eu/Eu*	0.132	0.097	0.101	0.099	0.089	0.078	0.099	0.050	0.207	0.106	0.177	0.180	0.147
Lan/Ybn	0.14	0.18	0.14	0.22	0.22	0.24	0.28	0.94	1.50	1.26	0.45	0.28	0.54
Lan/Smn	0.54	0.75	0.79	0.49	0.56	0.54	0.53	1.40	1.23	1.31	1.06	0.57	0.84
Gdn/Ybn	0.43	0.33	0.43	0.63	0.54	0.58	0.65	0.77	1.26	1.17	0.63	0.72	0.80

Kiel = Kiel University; CCC=ALS Chemex Company of Canada; Xeno = Xenolith; P-g = Per-aluminous granite;

Mig = Migmatite; Grt = Garnet; Crd = Cordierite.

## ادامه جدول -۲

Sample Rock type	191-E5 Xeno CCC	192-E2 Xeno CCC	193-E3 Xeno Kiel	111-c Pelite CCC	114-a Pelite CCC	220 Pelite CCC	221 Pelite CCC	Average of Garnet Granite	Average of Crdierite Granite	Average of migmatite Xenolith	Average of metapelitic & Xenolith
V	106.2	73.6	98.32	108.2	137.7	123.1	110.7	2.8	6.7	196.9	102.0
Cr	60.2	81.1	71.43	69.4	58.6	82.7	75.3	1.0	2.7	109.2	69.6
Co	12.1	14.2	15.59	18.2	13.1	10.3	14.1	0.7	0.8	21.3	13.5
Ni	30.5	34.4	31.58	31.2	46.4	22.9	38.8	1.0	1.5	67.5	31.4
Rb	77.1	39.5	54.67	114.1	75.3	85.6	63.5	152.6	143.9	96.2	65.2
Sr	69.4	68.9	58.62	47.4	79.5	94.1	83.7	6.0	11.7	75.2	67.1
Y	55.8	55.2	59.12	38.3	53.7	48.9	65.4	4.0	6.4	38.5	53.8
Zr	263.3	155.7	207.32	148.6	174.3	170.5	193.8	56.7	49.2	256.3	190.3
Nb	21.3	17.6	20.12	25.3	51.6	43.7	34.8	37.9	4.0	23.8	26.7
Ba	187.3	122.3	131.54	432.1	201.5	345.6	398.3	42.5	56.4	214.1	210.3
La	28.4	18.7	25.24	39.2	31.3	44.8	50.9	1.0	1.3	40.6	30.0
Ce	58.2	42.1	52.12	64.1	60.3	79.7	83.2	4.5	5.6	80.5	56.6
Pr	7.5	6.1	7.21	6.8	8.3	9.8	11.2	0.3	0.4	10.0	7.4
Nd	29.4	21.4	25.71	27.3	34.1	32.5	41.8	1.0	1.5	36.4	27.7
Sm	7.1	4.9	7.33	5.2	8.3	7.4	9.1	0.3	0.5	6.7	6.6
Eu	1.2	0.8	1.21	0.94	1.3	1.1	1.5	0.0	0.1	0.8	1.1
Gd	8.9	6.4	8.07	6.3	8.5	7.6	9.8	0.4	0.7	6.5	7.5
Tb	1.8	1.2	1.67	1.2	1.8	1.6	2.1	0.1	0.2	1.1	1.6
Dy	11.3	9.1	11.09	7.6	11.5	9.8	13.5	0.7	1.1	7.5	10.2
Ho	2.5	1.9	2.37	1.7	2.5	2.2	2.9	0.1	0.2	1.6	2.2
Er	6.7	5.8	6.73	5.2	7.5	6.4	8.2	0.4	0.6	4.4	6.4
Tm	1.0	0.9	0.92	0.8	1.2	0.9	1.2	0.1	0.1	0.7	1.0
Yb	6.7	5.5	6.46	5.1	7.5	6.2	8.4	0.7	0.7	4.4	6.4
Lu	1.0	0.8	0.91	0.8	1.1	0.9	1.2	0.1	0.1	0.7	0.9
Hf	7.6	6.3	8.41	6.3	8.6	8.1	9.8	2.7	2.2	7.1	7.5
Ta	1.8	1.5	2.25	2.7	2.5	2.9	3.4	2.7	0.8	2.2	2.2
Pb	29.7	16.4	23.55	17.7	20.8	24.2	28.7	17.6	18.6	16.1	21.6
Th	11.5	9.1	15.88	13.1	14.2	16.4	12.2	1.1	2.1	16.2	12.7
U	2.3	2.5	2.71	2.3	3	1.8	2.1	0.9	1.3	1.9	2.4
Ti	10638	9387	10889	10138	9262	11014	10638	668	1033	17647	8773
P	634	775	1339	1198	1057	1479	1479	775	810	611	1007
K	41085	31212	44376	72296	24736	39811	43420	64582	54142	25514	38579
Na	37625	39365	42192	9352	34363	37190	41975	44802	61875	24793	40474
Rb/St	1.11	0.57	0.93	2.41	0.95	0.91	0.76	25.41	13.34	1.32	1.04
Rb/Ba	0.41	0.32	0.42	0.26	0.37	0.25	0.16	3.66	3.21	0.53	0.40
K/Ba	219.4	255.2	337.4	167.3	122.8	115.2	109.0	1535.3	1166.2	127.9	231.0
Eu/Eu*	0.150	0.142	0.157	0.163	0.155	0.147	0.159	0.11	0.09	0.12	0.16
Lan/Ybn	0.53	0.44	0.52	0.92	0.53	0.93	0.80	0.15	0.24	0.60	1.92
Lan/Smn	0.88	0.83	0.75	1.65	0.82	1.32	1.22	0.69	0.53	0.99	1.52
Gdn/Ybn	0.89	0.78	0.83	0.82	0.76	0.82	0.78	0.40	0.60	0.79	1.21

Kiel = Kiel University; CCC=ALS Chemex Company of Canada; Xeno = Xenolith; P-g = Per-aluminous granite;

Mig = Migmatite; Grt = Garnet; Crd = Cordierite.

(McMillan et al., 2003)

همچنین درصد ذوب‌بخشی کمتر در گرانیت‌های گارنت‌دار به وسیله محتوای بالاتر عناصر ناسازگاری مانند Nb، Rb، Ta و Th ثابت می‌شود. فراوانی کمتر LREE در گرانیت‌های گارنت‌دار احتمالاً به دلیل کمبود کائیاپیت آپاتیت و ایلمینیت که عناصر مناسبی برای تمرکز این عناصر هستند، توجیه می‌شود. بنابراین، احتمالاً در حین ذوب‌بخشی بیگانه سنگ‌ها برای تولید این نوع از گرانیت‌ها این دو نوع کانی فازهای پایدار بوده‌اند.

فراوانی باریم در هر دو نوع گرانیت نسبت به بیگانه سنگ‌ها کاهش چشمگیری یافته (یک بی‌هنجری منفی؛ شکل ۵ (الف)) که نشانگر سازگار بودنش در حین ذوب‌بخشی بوده است. میانگین باریم در گرانیت‌های کردیریت‌دار بیشتر از انواع گارنت‌دار است که دلیل آن، احتمالاً درصد ذوب بیشتر و ناپایداری کامل مسکوویت برای تولید گرانیت‌های کردیریت‌دار است. کاهش شدید مقدار Sr و نسبت Ca/Sr در هر دو نوع گرانیت (شکل ۴ (ب)) نشان می‌دهد که Sr فاز پایدار در حین ذوب هر دو نوع گرانیت بوده است. بالاتر بودن این نسبت در گرانیت‌های گارنت‌دار احتمالاً هم به دلیل خروج کمتر Sr و هم ناشی از درصد ذوب‌بخشی کمتر و در نتیجه، عدم حضور پلازیوکلازهای کلسیک در واکنش‌های ذوب است.

یکسان بودن تقریبی فراوانی Y و مشابه بودن نسبت Sr/Y در همه گرانیت‌ها (شکل ۵ (ج)) نشان می‌دهد که Y یک عنصر سازگار در حین ذوب‌بخشی بوده است. الگوهای مسطح با شیب مثبت به سمت Yb در HREE و Y گرانیت‌های کردیریت‌دار نشان می‌دهد که احتمالاً گارنت یک فاز ناپایدار در حین ذوب‌بخشی بیگانه سنگ‌ها بوده است. در مقابل، شیب کاملاً مسطح این عناصر برای گرانیت‌های گارنت‌دار بیانگر پایداری گارنت در حین ذوب‌بخشی بیگانه سنگ‌ها است. بی‌هنجری منفی La و Eu و Nd در هر میانگین نسبت‌های Lan/Ybn، Lan/Smn و Gdn/Ybn در هر دو نوع گرانیت، بیانگر این است که LREE و MREE چندان به ذوب‌بخشی حساس نبوده‌اند و به عنوان عناصر سازگار در حین ذوب‌بخشی عمل کرده‌اند. برای مثال پایدار بودن پلازیوکلاز کلسیک در حین ذوب‌بخشی باعث بی‌هنجری منفی Eu شده است. مجموع عناصر REE در هر دو نوع گرانیت کمتر از سنگ مادر آنهاست؛ این نشان می‌دهد که حجم مذاب، محدود بوده و کانی‌های نگهدارنده این عناصر در حین ذوب‌بخشی فازهای تقریباً پایدار بوده‌اند.

هر دو نوع گرانیت دارای ماهیت پرآلومینوس هستند (شکل ۴(ه)) و تشکیل لوکوگرانیت‌هایی (شکل‌های ۴ (د) و ۴ (ه)) را می‌دهند که با گرانیت‌های نوع S-MREE، کمی متفاوت هستند (شکل ۷ (الف)). سنگ مادر آنها احتمالاً متاگریوک (شیست‌های نیمه پلیتی) است (شکل ۷(ب)).

## تفسیر و نتایج

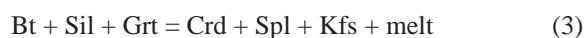
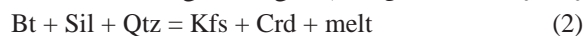
در نتیجه کافت‌ش سرزمین گندوانا (که در بخش‌های مختلف

شکل ۶ ب). پایین‌تر بودن میانگین نسبت Eu/Eu\* و بی‌هنجری منفی تر در این سنگ‌ها نشانگر پایداری فازهای کلسیک تر فلدسپار پلازیوکلاز در حین ذوب‌بخشی بیگانه سنگ‌ها بوده است. نظم کمتر الگوهای عناصر در نمودار عنکبوتی (شکل ۵ (ب)) برای بیگانه سنگ‌های میگماپاتیتی نشانگر توزیع ناهمگون ذوب در این سنگ‌ها و همچنین واکنش برگشتی بخش‌های ذوب شده با بخش‌های دیرگداز است، که باعث شده که تمرکز عناصر در سراسر چنین بیگانه سنگ‌هایی متغیر باشد.

## ۳- میانبارهای گرانیتی

میانبارهای گرانیتی بر اساس رخداد گارنت یا کردیریت دارای دو الگوی متفاوت توزیع برخی از عناصر هستند (جدول‌های ۱ و ۲؛ شکل‌های ۴، ۵ و ۶ (الف)). بالاتر بودن ترکیب میانگین اکسیدهای Al<sub>2</sub>O<sub>3</sub> و K<sub>2</sub>O و پایین‌تر بودن Na<sub>2</sub>O و MgO در گرانیت‌های گارنت‌دار نسبت به انواع کردیریت‌دار نشان می‌دهد که توزیع برخی از کانی‌ها مانند سیلیمانیت، مسکوویت، گارنت، کردیریت و بیویت در این تغییرات دخالت دارند. در انواع گارنت‌دار که دانه‌های گارنت غنی از منگنز است (فضل‌نیا، ۱۳۸۸)، بلورهای سیلیمانیت منشوری و مسکوویت‌های احاطه‌کننده آنها فراوان هستند (شکل ۳(د)). این مشخصه می‌تواند عاملی در فراوانی دو اکسید نامبرده در این نمونه‌ها باشد. در مقابل فراوانی دو اکسید دیگر در انواع کردیریت‌دار (کردیریت‌ها غنی از اکسید MgO هستند؛ فضل‌نیا، ۱۳۸۸)، با فراوانی بلورهای کردیریت و پلازیوکلاز قابل توجیه است.

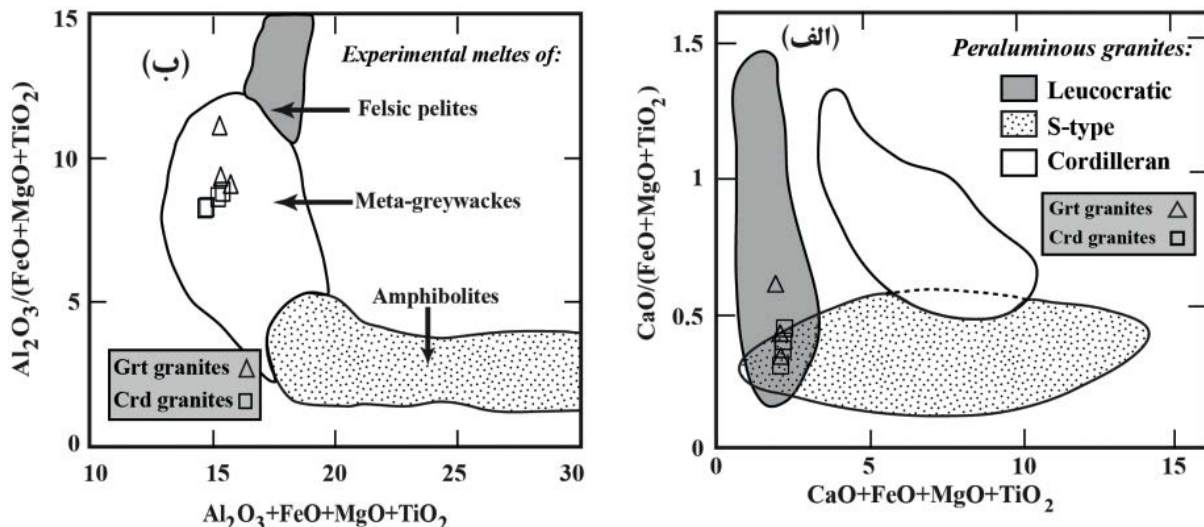
فراوانی بیشتر عناصری مانند Sr، Co، Cr، Ni، Y، Sr و HREE در گرانیت‌های کردیریت‌دار نسبت به انواع گارنت‌دار نشان می‌دهد که احتمالاً این گرانیت‌ها در شرایط درصد ذوب‌بخشی بالاتر ایجاد شده‌اند. چنین استدلالی با مشاهده گارنت‌های تحلیل رفته و درصد مودال کمتر بیویت تایید می‌شود (شکل ۳). همچنین بلورهای سیلیمانیت نیز در این گرانیت‌ها یا وجود ندارد و یا به شدت تحلیل رفته است. این مشخصه احتمالاً انجام واکنش‌های زیر را برای تولید چنین مذاب‌هایی نشان می‌دهد:



فراوانی سیلیمانیت در نمونه‌های گارنت‌دار که در اثر واکنش برگشتی به وسیله مسکوویت‌های تاخیری احاطه شده‌اند، احتمالاً با واکنش زیر اनطباق دارند:



این واکنش‌ها نشان می‌دهد که چرا گارنت و سیلیمانیت در گرانیت‌های کردیریت‌دار به شدت تحلیل رفته‌اند و درصد مودال بیویت در آنها نسبت به انواع گارنت‌دار کاهش چشمگیری دارد. هنگامی که بیویت در شرایط آبزدایی در واکنش‌های ذوب‌بخشی شرکت کند، حجم مذاب بیشتر شده و احتمالاً مذاب با سهولت بیشتری سنگ مادر اولیه که ساختار میگماپاتیتی دارد را ترک می‌کند و فابریک دیاتکسیت در میگماپاتیت‌ها ایجاد می‌شود



شکل ۷- نمودارهای توصیفی نوع و سنگ مادر اولیه لوکوگرانیت‌های پرآلومینوس (Patinò Douce, 1999).

همبری دما بالا و جریان‌های همرفتی درون مagmaهای اولیه در طول ضربان‌های بعدی تزریق magmaهای میزان، خرد شده و بلورهای جامد آنها به صورت مکانیکی، باعث آلایش گسترهای در باتولیت تله‌پهلوانی شده است (شکل ۸ در ۲۰۰۷ Fazlnia et al.). مطالعه توزیع عناصر اصلی (جدول ۱) در هر دو گرانیت گارنت‌دار و کریدیریت‌دار نشان می‌دهد که بر اثر ذوب‌بخشی در بیگانه سنگ‌های شیستی میگماتیتی، مقدار میانگین اکسید پیروکسینیت (کمپلکس مافیک-ترامافیک) به صورت قدرتمند در بخش جنوبی این زون (جنوب‌غربی کمپلکس دگرگونی قوری که عمده‌تاً از گارنت-کیانیت شیست تشکیل شده‌اند) شد (Fazlnia et al., 2007؛ فضل‌نیا، ۱۳۹۰الف).

قطعات فرو افتاده (بیگانه سنگ‌ها) در این magma، عمده‌تاً گارنت-بیوتیت-کیانیت شیست‌ها هستند. بنابراین بیگانه سنگ‌های حاضر، غنی از کانی‌های آلومینیم‌دار (مانند مسکوویت، بیوتیت، گارنت، استاورولیت و کیانیت) هستند. بیگانه سنگ‌های رسی دگرگون‌شده، دگرگونی همبری دما بالایی را تحمل کرده‌اند. دما و فشار اوج دگرگونی همبری این بیگانه سنگ‌ها  $760 \pm 27$  درجه سانتی‌گراد و  $5/1 \pm 1/2$  کیلوبار (فضل‌نیا، ۱۳۸۸)، نشانگر محدوده ذوب‌بخشی بی‌آب‌شدگی کامل مسکوویت و ابتدای بیوتیت (شکل ۳) است. در نتیجه چین شرایط دگرگونی، برخی بیگانه سنگ‌های شیستی، ذوب‌بخشی را تحمل کرده‌اند و ساختارهای میگماتیتی را گسترش دادند. غلبه بر نیروهای پیوستگی مذاب-بلور در محدوده ذوب‌بخشی بی‌آب‌شدگی بیوتیت، باعث شده است، تا بخشی از مذاب تولید شده، قابلیت جدایش از بیگانه سنگ‌های میگماتیتی را به دست آورد. احتمالاً در بخش‌های عمیق‌تر که این بیگانه سنگ‌ها تجمع بیشتری داشته‌اند، در اثر اجتماع بخشی از مذاب‌های تولید شده و عدم آمیختگی آنها با magmaهای میزان (به علت اختلاف دما و ترکیب شیمیایی متفاوت)، عدسی‌های کوچکی از گرانیت‌های پرآلومینوس غنی از پتاسیم در باتولیت تله‌پهلوانی تشکیل شده است. در مقابل، برخی دیگر از بیگانه سنگ‌های شیستی میگماتیتی شده، به علت تحمل دگرگونی

وجود رگه‌هایی از پگماتیت در کمپلکس باتولیتی تله‌پهلوانی، که عمده‌تاً در نزدیکی تجمع بیگانه سنگ‌های با ساختار میگماتیتی و گرانیت‌های پرآلومینوس (اکثراً در جنوب غرب این توده) رخ شده‌اند.

این سرزمهین متفاوت بوده و مریبوط به پرمین، تریاس و ژوراسیک است (Golonka, 2004)، magmaهای ناکوهزایی، مهم‌ترین واقعه سنگ‌شناختی در طول این رویدادها بوده است (Sears et al., 2005). جدایش زون دگرگونی سنتنج-سیرجان بر اثر کافتیش باعث تشکیل magmaهای ناکوهزایی تله‌پهلوانی (شکل ۱) با ترکیب لوکوکوارتز-دیوریت-آنورتوزیت و گابروهای آپاتیت‌دار-پیروکسینیت (کمپلکس مافیک-ترامافیک) به صورت قدرتمند در بخش جنوبی این زون (جنوب‌غربی کمپلکس دگرگونی قوری که عمده‌تاً از گارنت-کیانیت شیست تشکیل شده‌اند) شد (Fazlnia et al., 2007؛ فضل‌نیا، ۱۳۹۰الف).

قطعات فرو افتاده (بیگانه سنگ‌ها) در این magma، عمده‌تاً گارنت-بیوتیت-کیانیت شیست‌ها هستند. بنابراین بیگانه سنگ‌های حاضر، غنی از کانی‌های آلومینیم‌دار (مانند مسکوویت، بیوتیت، گارنت، استاورولیت و کیانیت) هستند. بیگانه سنگ‌های رسی دگرگون‌شده، دگرگونی همبری دما بالایی را تحمل کرده‌اند. دما و فشار اوج دگرگونی همبری این بیگانه سنگ‌ها  $760 \pm 27$  درجه سانتی‌گراد و  $5/1 \pm 1/2$  کیلوبار (فضل‌نیا، ۱۳۸۸)، نشانگر محدوده ذوب‌بخشی بی‌آب‌شدگی کامل مسکوویت و ابتدای بیوتیت (شکل ۳) است. در نتیجه چین شرایط دگرگونی، برخی بیگانه سنگ‌های شیستی، ذوب‌بخشی را تحمل کرده‌اند و ساختارهای میگماتیتی را گسترش دادند. غلبه بر نیروهای پیوستگی مذاب-بلور در محدوده ذوب‌بخشی بی‌آب‌شدگی بیوتیت، باعث شده است، تا بخشی از مذاب تولید شده، قابلیت جدایش از بیگانه سنگ‌های میگماتیتی را به دست آورد. احتمالاً در بخش‌های عمیق‌تر که این بیگانه سنگ‌ها تجمع بیشتری داشته‌اند، در اثر اجتماع بخشی از مذاب‌های تولید شده و عدم آمیختگی آنها با magmaهای میزان (به علت اختلاف دما و ترکیب شیمیایی متفاوت)، عدسی‌های کوچکی از گرانیت‌های پرآلومینوس غنی از پتاسیم در باتولیت تله‌پهلوانی تشکیل شده است. در مقابل، برخی دیگر از بیگانه سنگ‌های شیستی میگماتیتی شده، به علت تحمل دگرگونی

- فصل‌نیا، ع.ن.، ۱۳۹۰ (الف)، تکامل ژئوشیمیایی نفوذی‌های مافیک-اولترامافیک تله‌پهلوانی، شهربابک، ایران. پترولوزی، دانشگاه اصفهان، ۲ (۵)، ۱۱۲-۹۳.
- فصل‌نیا، ع.ن.، ۱۳۹۰ (ب)، آلایش ماقمایی بوسیله زنولیت‌های رسی شیستی فرو افتاده در باтолیت تله‌پهلوانی، شهربابک، ایران. مجله علوم زمین، سازمان زمین‌شناسی و اکتشافات معدنی. شماره تابستان، ۲۰ (۸۰)، ۱۲۷-۱۳۴.
- فصل‌نیا، ع.ن.، ۱۳۸۸، ذوب بخشی زنولیت‌های رسی فرو افتاده در باтолیت تله‌پهلوانی، شهربابک: دلایل تشکیل میانبارهای گرانیتی پرآلومینوس، مجله علوم دانشگاه شهید چمران. شماره زمستان، ۲۳، ۸۷-۶۱.

- Arvin, M., Pan, Y., Dargahi, S., Malekizadeh, A., and Babaei, A., 2007, Petrochemistry of the Siah-Kuh granitoid stock southwest of Kerman, Iran: Implications for initiation of Neotethys subduction. *Journal of Asian Earth Sciences*, 30, 474-489.

- Barker, F., 1979, Trondhjemite: definition, environment and hypotheses of origin. In: Barker, F. (Ed.), *Trondhjemites, dacites, and related rocks*. Elsevier Scientific Publishing Company, Amsterdam, 1-12.

- Berberian, M., and King, G.C.P., 1981, Towards a paleogeography and tectonic evolution of Iran. *Canadian Journal of Earth Sciences, Journal Canadien des Sciences de la Terre*, 18, 210-265.

- Carrington, D.P., and Watt, G.R., 1994, Contrasting geochemistry of granulite-facies leucosomes and S-type granites: K-feldspar as culprit. *Mineralogical Magazine*, 58, 152-153.

- Chappell, B.W., and White, A.J.R., 1974, Two contrasting granite types. *Pacific Geology*, 8, 173-174.

- Corona-Chávez, P., Poli, S., and Bigioggero, B., 2006, Syn-deformational migmatites and magmatic-arc metamorphism in the Xolapa Complex, southern Mexico, *Journal of metamorphic Geology*, 24, 169-191.

- Davoudian, A.R., Genser, J., Dachs, E., and Shabani, N., 2008, Petrology of eclogites from north of Shahre-kord, Sanandaj-Sirjan Zone, Iran. *Mineralogy and Petrology*, 92, 393-413.

- Fazlnia, A. N., Schenk, V., van der Straaten, F., and Mirmohammadi, M. S., 2009, Petrology, Geochemistry, and Geochronology of Trondhjemites from the Qori Complex, Neyriz. *Iran, lithos*, 112, 413-433.

- Fazlnia, A.N., Moradian, A., Rezaei, K., Moazzen, M., and Alipour, S., 2007, Synchronous Activity of An-

داده‌اند، نشان می‌دهد که احتمالاً واکنش‌های ذوب آبزدایشی کانی‌های آبداری مانند مسکوویت و بیوتیت موجب آزادشدن فازهای آبگین غنی در عناصر ناسازگار شده است. سپس این فاز آبگین، توانسته است درون این باтолیت، رگه‌های پگماتیتی را ایجاد کند.

شباهت سنی بیگانه سنگ‌های با ساختار میگماتیتی، گرانیت‌های پرآلومینوس و توده ماقمایی اصلی، نشانگر این مطلب است که هم رویدادهای سنگ‌شناختی در این کمپلکس در زمانی مشابه انجام شده است. بنابراین، نفوذ ماقمای ناکوهزایی به اعماق پوسته میانی که قبلاً یک رویداد دگرگونی ناحیه‌ای را در توآرسین تحمل کرده‌اند، باعث ایجاد یک باтолیت به شدت ناهمگن، در اثر آلایش با بخش شمال شرقی کمپلکس دگرگونی قوری، کرده است. اختلاف اندک سنی رویداد دگرگونی ناحیه‌ای و نفوذ باтолیت مورد مطالعه نشان می‌دهد که هنگام نفوذ این توده ماقمایی، سنگ میزبان دگرگونی، دماهای بالایی داشته است. این وضعیت باعث شده است که اولاً توده ماقمایی اولیه، دما و حالت مذاب خود را سریع از دست ندهد؛ ثانیاً اتلاف دما برای افزایش دما بیگانه سنگ‌ها تا نقطه ذوب به حداقل برسد. این عامل باعث شده است که سقوط بخش‌های از سنگ میزبان خرد شده به بخش‌های عمیق باтолیت (شکل ۸ در Fazlnia et al., 2007)، راحت‌تر انجام شود و در نهایت فرایندهای دگرگونی و ذوب بخشی در این بیگانه سنگ‌ها، در اعماق بیشتر باтолیت، منجر به ایجاد ساختارهای میگماتیتی و میانبارهای گرانیتی پرآلومینوس و از هم پاشیدن برخی بیگانه سنگ‌ها شده، در نتیجه آلایش گسترده در این باтолیت رخ داده است.

## تشکر و قدردانی

به این بوسیله از پروفسور دکتر فولکر شنک که امکان انجام آزمایش‌های مختلف را در دانشگاه کیل آلمان برای نگارنده فراهم کرد، تشکر می‌شود. از خانم آستروئید واينکاف و آندریاس فیلر برای آماده‌سازی نمونه‌های سنگی برای آزمایش XRF، ICP-MS و تهیه مقاطع نازک تشکر می‌شود. از آقای دکتر علیرضا شاکر اردکانی و آقای دکتر سید جواد یوسفی که در نمونه‌برداری صحرایی کمک‌های فراوانی به نویسنده مبذول داشتند، سپاسگزاری می‌شود. از وزارت علوم، تحقیقات و فناوری جمهوری اسلامی ایران، دانشگاه‌های ارومیه و شهید باهنر کرمان و دولت آلمان که مساعدت‌های لازم را برای این تحقیق مبذول داشتند، تشکر می‌گردد.

## منابع

- افتخارنژاد، ج.، ۱۳۶۰، تقسیم‌بندی تکتونیکی ایران بر اساس حوضه‌های رسویی. *Magazine of Oil and Gas*, ۱۹-۲۸، ۸۲.
- سبزه‌ای، م.، نوازی، م.، قوردل، م.، حمدی، م.ب.، روش‌نروان، ج. و اشراقتی، س.ا.، ۱۳۷۲، "نقشه ۱:۲۵۰۰۰ نیریز". سازمان زمین‌شناسی کشور.

orthositic and S-type Granitic magmas in Chah-Dozdan batholith, Neyriz, Iran: Evidence of Zircon SHRIMP and Monazite CHIME Dating, journal of sciences. Islamic Republic of Iran, 18, 221-237.

- Frost, B.R., Barnes, C.G., Collins, W.J., Arculus, R.J., Ellis, D.J., and Frost D.F., 2001, A geochemical classification for granitic rocks. *Journal of Petrology*, 42, 2033-2048.

- Fyfe, W.S., 1973, The granulite facies, partial melting and the Archaean crust. *Royal Society of London Philosophical Transactions, Series A*, 273, 457-461.

- Golonka, J., 2004, Plate tectonic evolution of the southern margin of Eurasia in the Mesozoic and Cenozoic. *Tectonophysics*, 381, 235-273.

- Harris, N., Ayres, M., and Massey, J., 1995, Geochemistry of granitic melts produced during the incongruent melting of muscovite-implications for the extraction of Himalayan leucogranite magmas. *Journal of Geophysical Research*, 100, 15767-15777.

- Healy, B., Collins, W.J., and Richards, S.W., 2004, A hybrid origin for Lachlan S-type granites: the Murrumbidgee Batholith example. *Lithos*, 78, 197-216.

- Kretz, R., 1983, Symbols for rock-forming minerals. *American Mineralogist*, 68, 277-279.

- Kriegsman, L.M., 2001, Partial melting, partial melt extraction and partial back reaction in anatetic migmatites. *Lithos*, 56, 75-96.

- Lancaster, J., Fu, B., Page, F.Z., Kita, N.T., Bickford, M. E., Hill, B.M., Mclelland, J.M., and Valley, J.W. 2009, Genesis of metapelitic migmatites in the Adirondack Mountains. *Journal of Metamorphic Geology*, 27, 41-54.

- McMillan, A., Harris, N.B.W., Ashwal, M.H.L., Kelley, S., and Rambeloson, R., 2003, A granite-gabbro complex from Madagascar: constraints on melting of the lower crust. *Contribution to Mineralogy and Petrology*, 145, 585-599.

- Mohajjel, M., Fergusson, C.L., and Sahandi M.R., 2003, Cretaceous-Tertiary convergence and continental collision, Sanandaj-Sirjan zone, Western Iran. *Journal of Asian Earth Sciences*, 21, 397-412.

- Otamendi, J.E., and Patin Douce, A.E., 2001, Partial melting of aluminous metagreywackes in the Northern Sierra de Comechingones. *Journal of Petrology*, 42, 1571-1772.

- Patin Douce, A.E., 1999, What do experiments tell

us about the relative contributions of crust and mantle to the origin of granitic magmas? In: Castro, A., Fernandez, C., Vigneresse, J.L. (Eds.), *Understanding Granites: Integrating New and Classical Techniques*, 168. Geological Society of London, Special Publication, 168, 55-75.

- Patin Douce, A.E., And Harris, N., 1998, Experimental constraints on Himalayan anatexis. *Journal of Petrology*, 39, 689-710.

- Sarkarinejad, K., and Alizadeh, A., 2009, Dynamic model for the exhumation of the Tutak gneiss dome within a bivergent wedge in the Zagros Thrust System of Iran. *Journal of Geodynamics*, 47, 201-209.

- Sawyer, E.W., 1996, Melt-segregation and magma flow in migmatites: implications for the generation of granite magmas. *Transactions of the Royal Society of Edinburgh, Earth Sciences*, 87, 85-94.

- Sears, J.W., George, G.M.S., and Winne, J.C., 2005, Continental rift systems and anorogenic magmatism. *Lithos*, 80, 147-154.

- Sha, L.K., and Chappell B.W., 1999, Apatite chemical composition, determined by electron microprobe and laser-ablation inductively coupled plasma mass spectrometry, as a probe into granite petrogenesis. *Geochimica et Cosmochimica Acta*, 63, 3861-3881.

- Shahabpour, J., 2005, Tectonic evolution of the orogenic belt in the region located between Kerman and Neyriz. *Journal of Asian Earth Sciences*, 24, 405-417.

- Shahabpour, J., 2007, Island-arc affinity of the Central Iranian Volcanic Belt. *Journal of Asian Earth Sciences*, 30, 652-665.

- Sheikholeslami, M.R., Pique, A., Mobayen, P., Sabzehei, M., Bellon, H., and Hashem Emami, M., 2008, Tectono-metamorphic evolution of the Neyriz metamorphic complex, Quri-Kor-e-Sefid area (Sanandaj-Sirjan Zone, SW Iran). *Journal of Asian Earth Sciences*, 31, 504-521.

- Taylor, S.R. and McLennan, S.M., 1985, The continental crust: its composition and evolution. Blackwell Scientific Publications, London, 312.

- Vielzeuf, D., and Holloway, J.R., 1988, Experimental determination of the fluid-absent melting relations in the pelitic system. *Contributions to Mineralogy and Petrology*, 98, 257-276.

- White, A.J.R., and Chappell, B.W., 1977, Ultrametamorphism and granitoid genesis. *Tectonophysics*, 43, 7-22.